

Grafos e Árvores

Alguns conceitos e representações

Prof. Leônidas de Oliveira Brandão

Departamento de Ciência da Computação - IME - USP

<http://www.ime.usp.br/~leo>

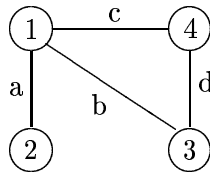
1.1 Grafos

$G = (\mathbf{AG}, \mathbf{VG})$ \mathbf{AG} = conjunto de arestas
 \mathbf{VG} = conjunto de vértices (ou nós)

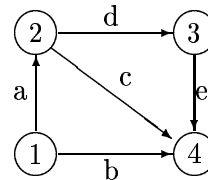
$(u, v) \in \mathbf{AG}$ é uma aresta de G ligando u a v (ou v a u).

Se existir ordem em \mathbf{AG} , isto é, $(u, v) \in \mathbf{AG} \not\Rightarrow (v, u) \in \mathbf{AG}$ o grafo é dito **orientado** ou **dirigido**.

- Representação gráfica



G_1 Grafo não orientado



G_2 Grafo orientado

$\mathbf{AG}_1 = (a, b, c, d)$ $a = (2, 1)$ ou
 $\mathbf{VG}_1 = (1, 2, 3, 4)$ $a = (1, 2)$

- Representação computacional

– Matriz de adjacência ($\mathbf{VG} \times \mathbf{VG}$)

1 $\begin{bmatrix} 1 & 2 & 3 & 4 \\ 0 & 1 & 1 & 1 \end{bmatrix}$
 2
 3
 4
 Matriz Adj. para G_1

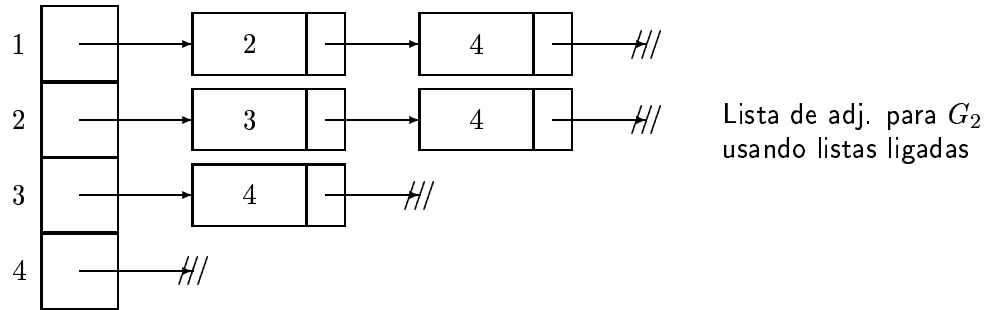
1 $\begin{bmatrix} 1 & 2 & 3 & 4 \\ 0 & 1 & 0 & 1 \end{bmatrix}$
 2
 3
 4
 Matriz Adj. para G_2

– Matriz de incidência

a b c d
 1 $\begin{bmatrix} 1 & 1 & 1 & 0 \end{bmatrix}$
 2
 3
 4

a b c d e
 1 $\begin{bmatrix} -1 & -1 & 0 & 0 & 0 \end{bmatrix}$
 2
 3
 4
 se $(u, l) = -1$ e $(v, l) = 1$, então $l = (u, v)$

– Lista de adjacência



1.1.1 Conceitos básicos

Subgrafo Um subgrafo G' de um grafo G ($G' \subseteq G$) é qualquer grafo tal que $VG' \subseteq VG$, $AG' \subseteq AG$ e $(v, w) \in AG' \Rightarrow (v, w) \in VG' \times VG'$ (ou seja, é qualquer grafo definido a partir de vértices e arestas de G)

Passeio É qualquer sequência (s_0, s_1, \dots, s_k) , onde $(s_i, s_{i+1}) \in AG$, $0 \leq i < k$. Dizemos que k é o tamanho do passeio.

Caminho É qualquer passeio no qual nenhum vértice ocorre mais que uma vez.

Componente conexa dado $G' \subseteq G$, G' é componente conexa de G se

$$\forall (u, v) \in VG' \times VG'$$

existe algum caminho algum caminho v para u . Algumas vezes dizemos apenas *componente*.

Por exemplo, no grafo G_1 , anterior, os sub-grafos formados pelos vértice $\{1, 3, 4\}$ e $\{1, 2\}$ (e as arestas entre eles em G) são componentes.

Da definição podemos concluir que cada vértice, isoladamente, é uma componente.

Grafo conexo G é conexo se para todos $u \in VG$ e $v \in VG$ existe caminho de u a v (ou de v a u).

Das duas últimas definições, segue que: se uma componente de um grafo G contém todos seus vértice, então G é conexo.

Para um grafo dirigido G , podemos falar em

Ordenação Topológica uma sequência de vértices (s_1, s_2, \dots, s_n) de G , $n = |VG|$, é uma ordenação topológica de G se e só se $\forall s_i$ e s_{i+k} ($i \in \{1, 2, \dots, n\}$ e $k \geq 0$) $\Rightarrow (s_{i+k}, s_i) \notin AG$.

Exemplo: grafo definido pela dependência entre arquivos de programas, $(s_i, s_j) \in AG \Leftrightarrow$ programa s_j depende do s_i , para se compilar é necessário seguir uma ordem topológica.

Um primeiro resultado sobre grafos, segue sem demonstração

Teorema Um grafo dirigido G admite ordenação topológica se, e somente se, G não contiver componentes conexas não triviais (um só vértice).

Um grafo que não contém componentes não triviais é dito **acíclico**, em caso contrário, **cíclico**.

Existem duas técnicas de busca em grafos:

- Busca em profundidade (“Depth First Search”)

```
DFS(w) /* busca em profundidade a partir do nó w */
    visitado(w) ← 1;
    para cada vertice  $v \in Adj(w)$ 
        se visitado(v)=0 então BFS(v)
/* aqui existe uma pilha implícita devido a recursão */
```

- Busca em Largura (“Breadth First Search”)

```
BFS(w) /* busca em largura a partir do nó w */
    visitado(w) ← 1;
    inicializa fila Q com w;
    enquanto verdade /* laço infinito */
        w ← retire último da fila Q;
        para cada vertice  $v \in Adj(w)$ 
            se visitado(v)=0 então Insere v em Q /* final da fila */
            visitado(v) ← 1;
    se fila Q vazia então retorne;
```

Outro conceito muito importante à várias aplicações que podem ser modeladas via grafos é o seguinte **Grau** de um nó é o número de arestas incidentes ao nó.

Exemplos Denotamos por $g_G(v)$ o grau do nó v no grafo G , em não havendo dúvidas a respeito de qual grafo se tratar, denotamos apenas por $g(v)$.

Em G_1 : $g_{G_1}(1) = 3$, $g_{G_1}(2) = 1$, $g_{G_1}(3) = 2$ e $g_{G_1}(4) = 2$.

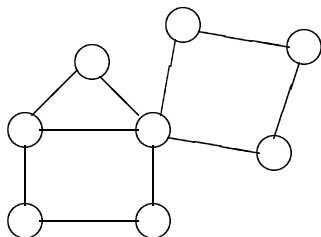
Em G_2 : $g_{G_2}(1) = 0$, $g_{G_2}(2) = 1$, $g_{G_2}(3) = 1$ e $g_{G_2}(4) = 3$.

NOTA: Para todo grafo G , vale a seguinte propriedade

$$\sum_{v \in VG} g(v) = 2 \mid \mathbf{AG} \mid .$$

Problema do Circuito Hamiltoniano: dada uma representação gráfica de um grafo, determinar, se existir, um caminho que passe por todos os vértices, sem repetir vértice, começando e terminando no mesmo vértice (*ciclo euleriano*).

Problema do Circuito Euleriano: dada uma representação gráfica de um grafo, determinar, se existir, um caminho que passe por todas as arestas, sem repetir aresta, começando e terminando no mesmo vértice (*ciclo euleriano*).



Não existe ciclo euleriano para este grafo.

Problema da Árvore Espalhada Mínima: dado um grafo conexo G , com custos $c(\cdot)$ nas arestas, encontrar uma **árvore espalhada** H ($VH = VG$, H árvore e H conexa) de custo mínimo (i.é., $\forall \bar{H}$ árvore espalhada $\Rightarrow c(\bar{H}) \geq c(H)$).

Problema Código de Huffman: dado um conjunto de letras \mathcal{L} e suas frequências ($f(l_i), l_i \in \mathcal{L}$), encontrar uma árvore de codificação para \mathcal{L} de modo que

$$\sum_{l_i \in \mathcal{L}} f(l_i) \text{alt}(l_i)$$

seja mínimo. Sendo,

- **árvore de codificação para \mathcal{L} :** uma árvore binária, cujas folhas representam as letras \mathcal{L} (p.e., se o caminho da raiz até a folha l_i for *esquerda, direita, direita, esquerda* e representarmos *esquerda* por 0 e *direita* por 1, l_i será codificada como 0110).
- $\text{alt}(l_i)$: é altura, desde a raiz da árvore de codificação, da folha contendo a letra l_i .

Algoritmo 1.1 *Constrói a árvore de codificação de menor custo (código de Huffman)*

Huffman(L, f) / L=(l₁, l₂, ..., l_n), f(.) função de frequências */*

var C, n_conj;

inicio

```

1  C := monta_conjunto(L); // monta conjunto ordenando de modo crescente em relação às frequências
2  n_conj := #L;
3  enquanto ( n_conj > 0 )
4      u ← menorValor(C); // C ← C - u
5      v ← menorValor(C); // C ← C - v
6      w ← novo_no( f(u) + f(v) );
7      w.no_esq ← u;
8      w.no_dir ← v;
9      insereOrdenado(C, w); // insere w em C de modo ordenado - pode ser "heap"
10     n_conj ← n_conj - 1;
```

final

Prova de que algoritmo de Huffman produz a árvore de codificação de menor custo (por contradição).

Vamos supor existir uma árvore \bar{H} diferente da de Huffman H , donde extrairemos uma contradição.

Assim, seja \bar{H} uma árvore estritamente melhor que a de Huffman. Se considerarmos uma ordem de junção que escolhe sempre as sub-árvores que ficarão mais profundas na árvore final, então cada árvore de código admite uma única sequência de construção (junções entre nós para formá-la, das folhas para a raiz, como os passos 7, 8 e 9), do mesmo modo que a árvore de Huffman também é única.

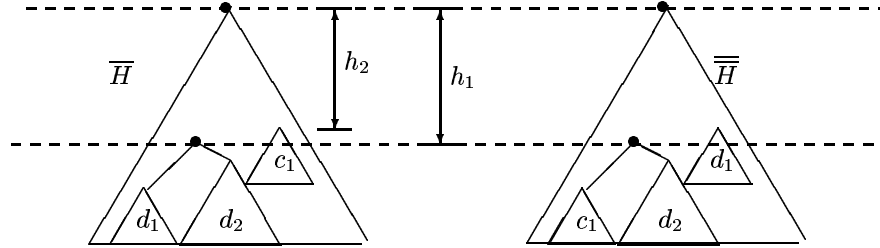
Consideraremos a sequência do algoritmo acima para montar a árvore de Huffman e uma sequência correspondente, juntando-se sempre que possível as sub-árvores de menor frequência (as primeiras escolhidas ficarão em níveis maiores da árvore final).

Deste modo, sejam (c_1, c_2) e (d_1, d_2) , respectivamente, as primeira junções de sub-árvores diferentes nas sequências de junções de Huffman e da \bar{H} . Por *diferente* devemos entender as sub-árvores com custo (ou frequências) diferentes, pois é isso que importa para definir custo final (i.é., se as letras l_i e l_j tiverem a

mesma frequência, é indiferente ter uma árvores com estas letras em profundidades, respectivamente, h_i e h_j ou em profundidades h_j e h_i).

Vamos agora definir uma árvore $\overline{\overline{H}}$, construída a partir de \overline{H} , trocando-se d_1 por c_1 (e vice-versa).

Sejam h_1 e h_2 , respectivamente, as alturas das sub-árvores (d_1, d_2) e c_1 em \overline{H} . Portanto, a altura de c_1 em $\overline{\overline{H}}$ será h_1 e a de (d_1, d_2) será h_2 ¹.



Árvore \overline{H} com sua sub-árvore (d_1, d_2) de altura h_1 e a subárvore substituta (c_1, d_2) de altura h_2 em $\overline{\overline{H}}$.

Como o algoritmo de Huffman não escolheu as sub-árvores d_1 e d_2 , escolhendo c_1 e c_2 segue que

$$\begin{aligned} \text{custo}(c_1) &< \text{custo}(d_1) \\ h_1 &> h_2. \end{aligned}$$

As últimas desigualdades (estritas) seguem da hipótese de \overline{H} ser estritamente melhor que H (e termos pego uma ordem de construção que une primeiro as sub-árvores que ficarão mais profundas na árvore final).

Daí podemos concluir que o custo da árvore $\overline{\overline{H}}$ é estritamente menor que o de \overline{H} , pois

$$\begin{aligned} \text{custo}(\overline{\overline{H}}) &= \text{custo}(\overline{H}) + \text{custo}(c_1) + h_1 \sum_{i \in c_1} f_i + \text{custo}(d_1) + h_2 \sum_{i \in d_1} f_i \\ &\quad - (\text{custo}(d_1) + h_1 \sum_{i \in d_1} f_i) - (\text{custo}(c_1) + h_2 \sum_{i \in c_1} f_i) \\ &= \text{custo}(\overline{H}) + (h_1 - h_2)(\sum_{i \in c_1} f_i - \sum_{i \in d_1} f_i) \\ &< \text{custo}(\overline{H}). \end{aligned}$$

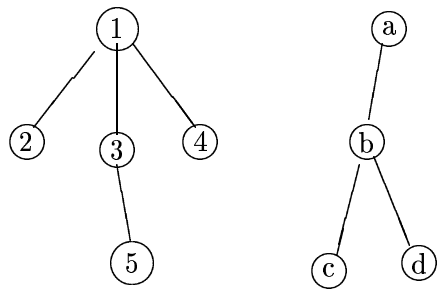
Portanto não pode existir uma árvore \overline{H} melhor que a H obtida pelo algoritmo de Huffman. ■

1.2 Árvores

Todo grafo acíclico é uma **árvore**. Podemos “olhar” uma árvore como sendo uma estrutura de hereditariedade, isto é, existe um primeiro nó que denominamos **raiz** e a cada nó da árvore podem “descender” filhos.

Exemplos

¹Como estamos supondo a sequência de construção de \overline{H} o mais parecida possível com H , e uma vez que, uma mesma sub-árvore c esteja presente no passo k de construção de H e \overline{H} , então sempre existirá um nó que tenha como filho c (e claro, ambas as árvores H e \overline{H} têm um nó cujo filho é a sub-árvore c).



Raiz de H_1 é 1
de H_2 é a

$H_2 \left\{ \begin{array}{l} c \text{ e } d \text{ são } \textit{filhos} \text{ de } b \\ a \text{ é } \textit{pai} \text{ de } b \end{array} \right.$

Sobre as H_1 H_2 árvores, temos os seguintes conceitos principais

Nível as duas árvores H_1 e H_2 têm 3 níveis, em H_1 o primeiro nível é composto pelo nó $\{1\}$, o segundo por $\{2, 3, 4\}$ e o terceiro por $\{5\}$.

Profundidade de um nó u é o comprimento do caminho da raiz até u .

Se u é raiz a profundidade de u é 1 (ou 0),
caso contrário é a profundidade do pai de u + 1 (note a recursão!).

Folha é um nó sem filhos.

Altura de um nó é o comprimento máximo do nó à uma folha. Por exemplo, em H_1 :

$$\text{alt}(1)=2$$

$$\text{alt}(2)=0$$

$$\text{alt}(3)=1.$$

Árvores binárias são árvores onde cada nó tem no máximo dois filhos. Quando existir filho será diferenciado por esquerdo ou direito.

Podemos formalizar algumas destas definições, e consequências, de modo mais rigoroso através de recorrências. Para isso, vamos adotar a convenção matemática de que *somatório indexado por conjunto vazio resulta 0*, isto é,

$$\sum_{\alpha \in \emptyset} \Phi(\alpha) = 0.$$

Assim, dada uma árvore H :

Número de nós de H : se $nn(v)$ é o número de nós a partir do nó v , então $nn(v) = 1 + \sum_{w \in \text{Adj}(v)} nn(w)$.

Número de folhas em H : se $nf(v)$ é o número de folhas a partir do nó v , então $nf(v) = \sum_{w \in \text{Adj}(v)} nf(w)$.

Altura de H : se $\text{alt}(v)$ é a altura do nó v , então $\text{alt}(v) = 1 + \max \{ \text{alt}(\text{filho_esq}(v)), \text{alt}(\text{filho_dir}(v)) \}$.

Exercício 1.1 Implemente em alguma linguagem de alto nível os três algoritmos acima, supondo dada a árvore.

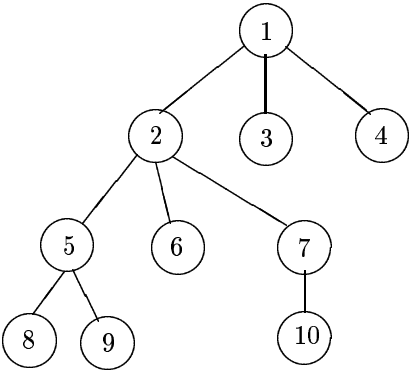
1.2.1 Representações de Árvores

■ Utilizando listas

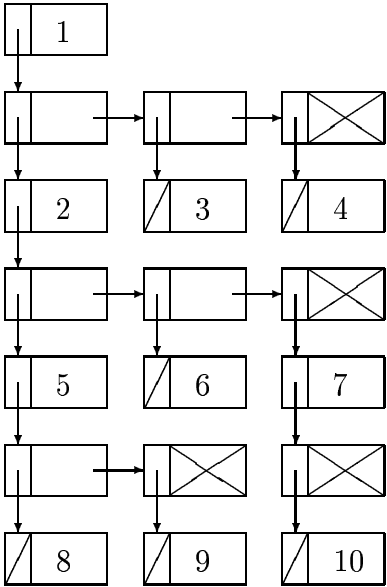
```
( 1 ( 2 ( 5 (8) (9) )
      ( 6 )
      ( 7 (10) )
    ) (3) (4)
)
```

Listas Generalizadas (LISP)

■ Utilizando diagrama hierárquico

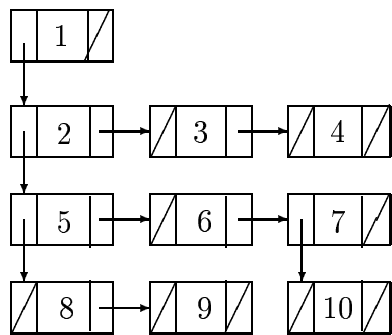


■ Utilizando listas ligadas



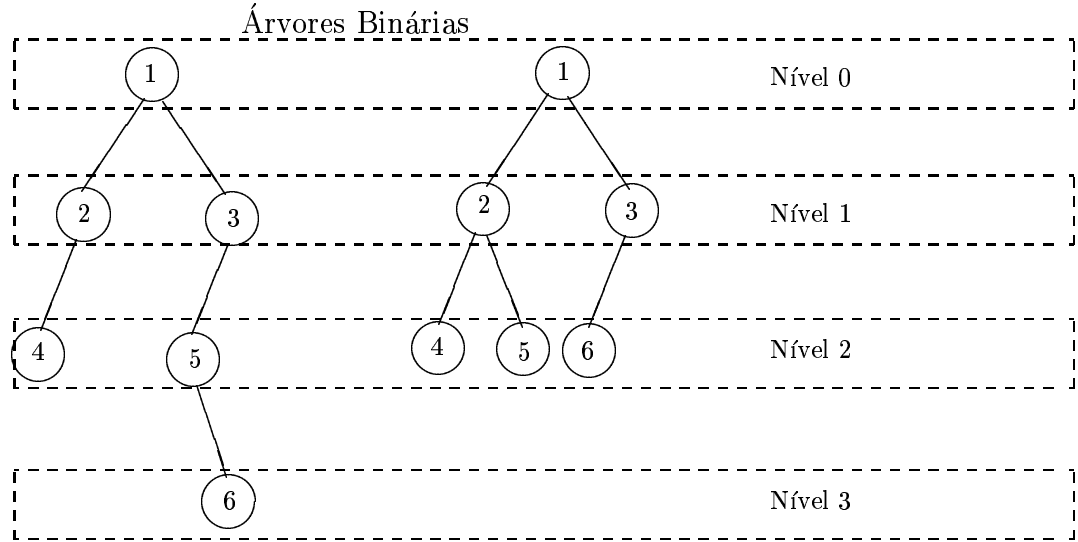
Representação interna de árvores: usando listas ligadas com nós especiais para filhos

■ Utilizando árvores binárias

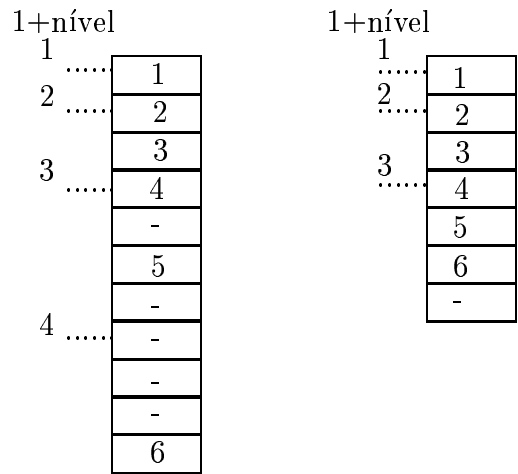


Representação interna de árvores: usando listas ligadas com campos direito e esquerdo

■ Utilizando vetores, para os exemplos de árvore binárias abaixo



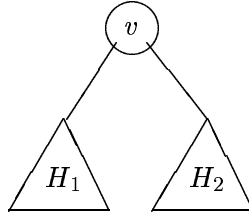
Também é possível adotar uma representação simples (e ineficiente se as árvore binária for esparsa), via vetores. Para isso é necessário convencionar que a raiz da árvore esta na primeira posição do vetor, que deve se indexada por 1, sendo que para todo nó i com filho, seu filho esquerdo é $2 * i$ e o direito $2 * i + 1$ (anotando algum código no caso de nó vazio), vide figura abaixo. Esta é mesma estrutura adotada no algoritmo **Heap Sort**.



Representação interna das árvores binárias da figura anterior usando vetores

1.2.2 Alguns resultados sobre árvore binárias

Dizemos que uma árvore é **completamente balanceada** se para todo nó v , $|VH_e| = |VH_d|$, sendo H_e é a sub-árvore esquerda de v e H_d a direita.



Teorema H_1 : O número de nós em uma árvore completamente balanceada é $2^{h+1} - 1$, se h for a altura da árvore.

Prova: Por indução na altura h de da árvore.

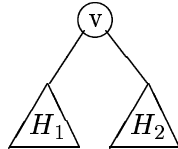
■ Base da indução

$h=1$, então a árvore é trivial (um só nó) e portanto

$$1 = |VH| = 2^{0+1} - 1.$$

■ Passo da indução

Vamos supor que o teorema seja válido para alturas menores que $h+1$. Podemos decompor a árvore H como segue,



portanto, o número de nós de H é $1 +$ a soma dos nós das sub-árvore esquerda e direita, nas quais podemos aplicar a hipótese de indução (pois, cada uma delas têm menos que $h + 1$ nós), ou seja,

$$|VH| = |VH_e| + |VH_d| + 1 \stackrel{h.i.}{=} 2^h - 1 + 2^h - 1 + 1 = 2^{h+1} - 1.$$

■

Teorema H_2 : Seja H uma árvore binária com n_i nós de grau i (claramente $i \in \{0, 1, 2\}$), então $n_0 = n_2 + 1$.

Prova: Cada nó, exceto a raiz, é “final” de uma (e só uma) aresta (seu “superior hierárquico”), logo

$$|AH| = |VH| - 1 \text{ e } |AH| = n_1 + 2n_2.$$

Como $|VH| = n_0 + n_1 + n_2$, segue que

$$n_1 + 2n_2 = |VH| - 1 = n_0 + n_1 + n_2 - 1 \iff n_0 = n_2 + 1.$$

■

Análise de complexidade para um algoritmo recursivo

Algoritmo recursivo para determinar máximo e mínimo numa lista

Algoritmo 1.2

```

MaxMin(L,n) /* L=(l1,l2,...,ln) */
var Max1, Max2, Min1, Min2, k;
inicio
  se n = 1 entao retorne (l1,l1)
  senao se n = 2 entao
    se l1 > l2 entao retorne (l1,l2)
    senao retorne (l2,l1)
  senao k ← ⌊n/2⌋;
    /* neste pto usa-se indução: supõe-se alg. funcionar p/ até ⌈n/2⌉ elementos */
    (Max1,Min1) ← MaxMin(l1,...,lk,k);
    (Max2,Min1) ← MaxMin(lk+1,...,ln,n-k);
    retorne (Maximo{Max1,Max2},Minimo{Min1,Min2});
final

```

Complexidade do algoritmo:

Seja $T(n)$ o número de comparações para listas com $|L| = n$. Para listas de tamanho 1 e 2 é trivial

$$T(1) = 0$$

$$T(2) = 1$$

Para $n > 2$, aplicamos um raciocínio indutivo

$$T(n) = T(\lfloor n/2 \rfloor) + T(n - \lfloor n/2 \rfloor) + 2 = T(\lfloor n/2 \rfloor) + T(\lceil n/2 \rceil) + 2$$

Para simplificarmos a contabilidade vamos admitir que $n = 2^k$,

$$\begin{aligned}
 T(n) &= 2T(n/2) + 2 = 2(2T(n/2^2) + 2) + 2 = \dots \\
 &= 2^{k-1}T(2) + (2 + 2^2 + \dots + 2^{k-1}) = 2^{k-1} + 2^k - 2 = 2^{k-1}(3) - 2 \\
 &= 3\frac{n}{2} - 2.
 \end{aligned}$$

1.3 Passeios em árvores binárias

Podemos percorrer os nós de uma árvore binária de três forma diferentes: visitando um nó depois seu ramo esquerdo e por último seu ramo direito; visitando o ramo esquerdo de um nó, depois o nó e por último seu ramo direito; visitando o ramo esquerdo de um nó, depois seu ramo direito e por último o nó.

1.3.1 Passeio “pré-ordem”

Seja T um árvore binária, o passeio “pré-ordem” de T pode ser feito da seguinte maneira:

1. inicia o passeio pela raiz da árvore, $no \leftarrow \text{raiz}(T)$;
2. para todo $no \in VT$, $\text{visite}(no)$, $\text{pre_ordem}(no.esq)$ e por último $\text{pre_ordem}(no.dir)$.

ou seja,

Algoritmo 1.3 *Passeio “em pré ordem” (pré-ordem) em uma árvore de raiz no .*

Pre_ordem(*No no*)

inicio

se *no* vazio entao retorne ;

senao $\text{visite}(no)$;

$\text{Pre_ordem}(no.esq)$;

$\text{Pre_ordem}(no.dir)$;

final

1.3.2 Passeio “in-ordem”

Seja T um árvore binária, o passeio “in-ordem” de T pode ser feito da seguinte maneira:

1. sendo no a raiz da árvore, comece com $\text{in_ordem}(no)$;
2. para todo $no \in VT$, $\text{in_ordem}(no.esq)$, $\text{visite}(no)$ e por último $\text{in_ordem}(no.dir)$.

Refinando esta idéia podemos obter o seguinte algoritmo,

Algoritmo 1.4 *Passeio “em ordem” (in-ordem) em uma árvore de raiz no .*

Pre_ordem(*No no*)

inicio

se *no* vazio entao retorne ;

senao $\text{In_ordem}(no.esq)$;

$\text{visite}(no)$;

$\text{In_ordem}(no.dir)$;

final

1.3.3 Passeio “pós-ordem”

Seja T um árvore binária, o passeio “pós-ordem” de T pode ser feito da seguinte maneira:

1. sendo no a raiz da árvore, comece com $\text{pos_ordem}(no)$;
2. para todo $no \in VT$, $\text{pos_ordem}(no.esq)$, $\text{pos_ordem}(no.dir)$ e por último $\text{visite}(no)$,

ou seja,

Algoritmo 1.5 *Passeio “em pós ordem” (pós-ordem) em uma árvore de raiz no.*

Pre_ordem(No no)

inicio

se no vazio entao retorne ;

senao *Pos_ordem*(no.esq);

Pos_ordem(no.dir);

visite(no);

final

1.3.4 Passeios em árvores e expressões aritméticas

Uma aplicação elementar de árvores binárias é na representação de expressões aritméticas. A forma mais usual de definirmos uma expressão aritmética é através de uma “regra de produção”, por exemplo,

$EXPR := NUMERO;$ (1)

$-EXPR;$ (2)

$(EXPR);$ (3)

$EXPR * EXPR;$ (4)

$EXPR / EXPR;$ (5)

$EXPR + EXPR;$ (6)

$EXPR - EXPR;$ (7)

e esta representação é naturalmente representada por uma árvore binária. Para isso basta convencionar que os átomos (itens sintáticos $-$, $+$, \dots , e os identificadores e constantes) sejam nós com filho esquerdo dado pelo termo à sua esquerda na definição e com filho direito dado pelo termo à sua direita (isso implica em apontador nulo à esquerda do operador unário $-$).

Notem que as “produções” (4) a (7) (e as demais com operadores binários) podem produzir ambiguidades, pois o que deve ser calculado antes, a expressão à esquerda do operador ou àquela à sua direita ?

Escolher fazer primeiro a esquerda ou a direita, pode implicar resultados direntes (como em $2 + 3/4$ fazendo-se primeiro $2 + 3$ ou primeiro $3/4$). Em matemática eliminamos esta ambiguidade associando prioridades aos operadores ($prior(-\text{unário}) > prior(*, /) > prior(+, -)$) e, quando houver empate calculamos da esquerda para direita (os operadores com mesma prioridade são associativos: $a + (b - c) = (a + b) - c$ ou $a * (b/c) = (a * b)/c$).

Exemplo 1.1 *Utilizando as regras matemáticas de prioridades entre operadores, as expressões aritméticas $A + (2 + 3 * 4)/10$ e $A + 2 + 3 * 4/10$ são representadas pelas árvores abaixo.*

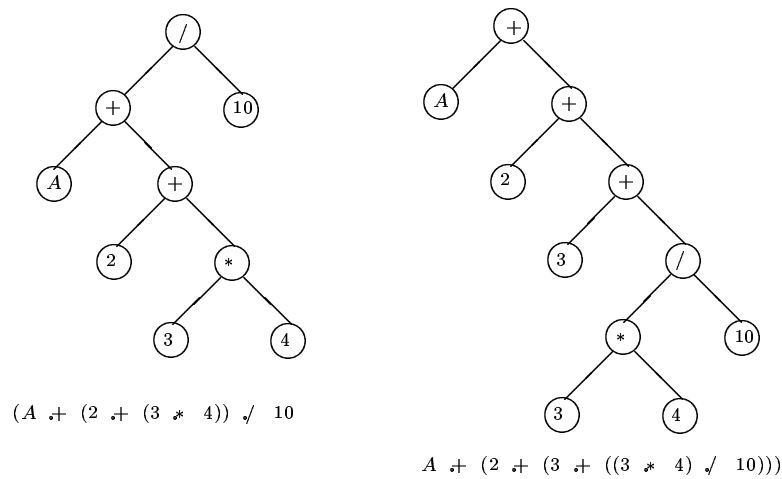


Figura 1.1: Árvores binárias de expressões ambíguas

Propriedade 1.1 Sendo (i_1, i_2, \dots, i_k) e (p_1, p_2, \dots, p_k) permutações sobre os conjuntos (l_1, l_2, \dots, l_k) , então existe uma e só uma árvore binária T de tal forma que:

$$In_ordem(T) = (i_1, i_2, \dots, i_k) \text{ e } Pre_ordem(T) = (p_1, p_2, \dots, p_k).$$

Propriedade 1.2 A propriedade 1.1 vale tomando-se qualquer combinação disjunta de passeios (*in* e *pós*, *in* e *pré*, *pós* e *pré*).

Exemplo 1.2 Sendo I e P os passeios, respectivamente, *in-ordem* e *pré-ordem* obtido de uma dada árvore, reconstruir a mesma:

- (1) $I = (2, 4, 1, 3, 5)$ e $P = (1, 5, 3, 2, 4)$;
- (2) $I = (2, 4, 5, 3, 1)$ e $P = (1, 2, 3, 4, 5)$;
- (3) $I = (1, 3, 5, 4, 2)$ e $P = (1, 5, 3, 2, 4)$.

1.3.5 Árvores costuradas

É possível implementar algoritmos não recursivo, e que não usem pilhas explícitas, para fazer passeios em árvores binárias. Nesta sub-seção consideraremos apenas o caso de passeio “em ordem”.

Num passeio “em ordem” a visita a um nó ($visita(no)$) é feita após verificarmos toda sua sub-árvore esquerda e o último nó visitado (antes de no), de no , não tem filho direito. Assim, podemos aproveitar os apontadores vazios para filhos direitos para “costurá-los” aos seus sucessores “em ordem”.

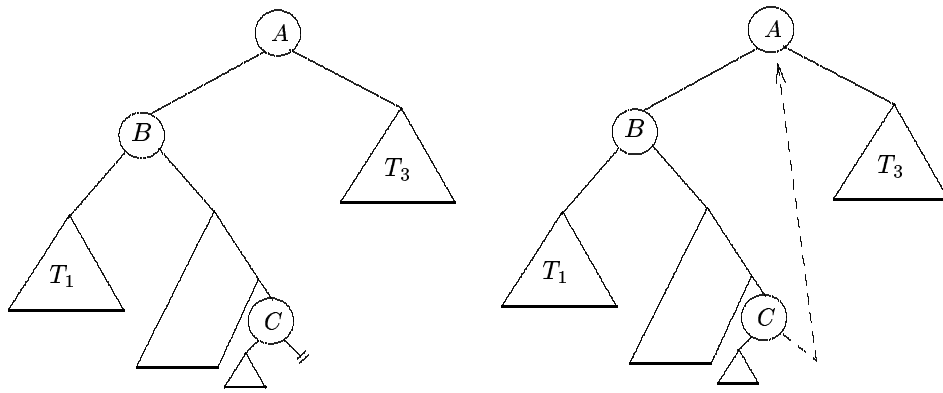


Figura 1.2: Árvores binária sem costura e com costura: nó A é sucessor “em ordem” de C

Usando esta idéia é necessário diferenciar um “legítimo” filho direito de uma costura, e para isso basta uma variável booleana. Um algoritmo de passeio “em ordem” em uma árvore costurada é apresentado a seguir.

Algoritmo 1.6 *Passeio “em ordem” em uma árvore costurada de raiz no .*

In_ordem_costurado($No\ no$)

inicio

enquanto $no \neq \text{vazio}$

enquanto $no.esq \neq \text{vazio}$

$no \leftarrow no.esq;$

$visita(no);$

enquanto no é costurado // percorre toda costura até um nó com legítimo filho direito

$no \leftarrow no.dir;$ // pega o sucessor do nó atual

$visita(no);$ // visita o sucessor do último nó costurado

$no \leftarrow no.dir;$ // pega o filho direito do nó atual e retorne ao “passo inicial”

final

1.3.6 Árvores de Busca Binária

Uma árvore binária é de busca, **árvore de busca binária** (**ABB**), se cada nó tem uma **chave** (valor) associado e cada nó da mesma tem chave maior que a de todos os nós da sub-árvore esquerda e menor que a chave de todos os nós da sub-árvore direita.

$$T \text{ é ABB} \iff \forall no \in VT \Rightarrow \left\langle \begin{array}{l} chave(esq) < chave(no) < chave(dir), \\ \forall (esq, dir) \in subarvore(no.esq) \times subarvore(no.dir). \end{array} \right\rangle$$

Propriedade 1.3 *Se T é ABB e $In_ordem(T) = (i_1, i_2, \dots, i_k)$ é uma passeio “em ordem” de T , então $chave(i_1) < chave(i_2) < \dots < chave(i_{k-1}) < chave(i_k)$.*

Exemplo 1.3 *Demonstre a propriedade acima.*

Algoritmo 1.7 *Inserção de um elemento com a informação info numa árvore de busca binária.*

```

InserreABB (No no, info) {
  se (no não vazio) {
    no = novo_no(info);
    retorne no;
  }
  atual := no;
  enquanto (atual não vazio) {
    enquanto (atual.esq não vazio) {
      ant := atual;
      se (info < info(atual)) {
        atual := atual.esq;
        eh_esq := verdadeiro;
      }
      senao
        se (info(atual) < info) entao
          atual := atual.dir;
          eh_esq := falso;
        senao
          retorne no; // info(atual)=info=>não insere
    }
    se (eh_esq) // veio de um apontador esquerdo
      ant.esq := novo_no(info);
    senao
      ant.dir := novo_no(info);
    retorne no;
  }
}

```

Versão iterativa

```

InserreABB_Rec (No no, info) {
  if (no é vazio) retorne novo_no(info);
  if (info(no) < info)
    no.dir = InserreABB_Rec (no.dir, info);
  else if ( info < info(no) )
    no.esq = inserreABB_Rec(no.esq, info);
  retorne no;
}

```

Versão recorrente

Algoritmo 1.8 *Remoção de um elemento com a informação info numa árvore de busca binária.*

```

RemoveABB (info) {
  atual := no;
  enquanto (atual != vazio) {
    se (info < info(atual) // pode estar na sub-árvore esquerda
      atual := atual.esq;
    senão
      se (info(atual) < info) // pode estar na sub-árvore direita
        atual := atual.dir;
      senão quebre_laço; // info(atual)=info => elimine "atual"
    }
  se (atual != vazio) {
    (ant_menor, eh_esq) := achaMenor( atual.dir ); // acha o ant. à menor chave da sub-árvore direita
    if (eh_esq) {
      atual.info( info(ant_menor.esq) ); // pegue a info do nó à esquerda de ant_menor
      ant_menor.esq := (ant_menor.esq).dir; // eliminamos o apontador
    }
    else // cai aqui quando "atual" tem um só nó à direita (sub-árvore direita com um só nó)
      atual.info( info(ant_menor.dir) );
    }
  retorne no;
}

```

Note que a linha `(ant_menor, eh_esq) := achaMenor(atual.dir);` poderia ser trocada pelo equivalente à esquerda, `(ant_maior, eh_dir) := achaMaior(atual.esq);`, procurando o nó com a maior chave na sub-árvore à esquerda (que só tem chaves menores que `info(atual)`).

Uma melhoria do algoritmo acima é manter na ABB as alturas de cada nó e escolhermos para substituir o nó a ser removido àquele pertencente a sub-árvore de maior altura (`achaMenor(atual.dir)` ou

`achaMaior(atual.esq)`). Com isso, cada remoção melhora² o balanceamento da árvore resultante.

1.3.7 Árvores de Busca Binária AVL

Os dois algoritmos anteriores mantêm a árvore com a propriedade ABB, entretanto existe um terceiro algoritmo que muito provavelmente é utilizado um número de vezes maior que os anteriores, a **busca**. Durante um intervalo de tempo em que a árvore T não é alterada, se \mathcal{C} é o conjunto de chaves buscadas no período, sendo $freq(c)$ e $alt(c)$ ($c \in \mathcal{C}$), respectivamente, o número de vezes que c foi procurado e a altura do nó c em T , então

$$\text{o tempo de busca é proporcional a } \sum_{c \in \mathcal{C}} alt(c) \times freq(c).$$

Se não dispomos de informações a priori das buscas, podemos supor que cada chave é equiprovável (de ser buscada). Portanto, para reduzir o tempo de cada busca devemos minimizar as alturas dos nós na ABB, tanto quanto possível. Uma situação em que isso ocorre é quando a árvore é perfeitamente **balanceada**, ou seja, quando todos os nós num mesmo nível tiverem a mesma altura.

Entretanto é difícil manter uma árvore balanceada³, quer dizer, mantê-la de modo que todas as folhas estejam em no máximo dois diferentes níveis é computacionalmente caro (muda a complexidade dos algoritmos anteriores). Assim, devemos tentar manter a árvore “quase-balanceada” sem alterar a complexidade dos algoritmos de inserção e remoção anteriormente vistos.

Uma propriedade que atende este objetivos é o de **árvores AVL**: para cada nó da árvore, a diferença entre as alturas das sub-árvores esquerda e direita é de no máximo uma unidade.

Se no algoritmo 1.8 utilizarmos a heurística de escolher a sub-árvore de maior altura (`achaMenor(atual.dir)` ou `achaMaior(atual.esq)`), conseguiremos manter a estrutura de AVL nas remoções e não aumentaremos a complexidade computacional da remoção.

Já a inserção é mais complicada para ser implementada: após uma inserção devemos determinar o primeiro nó que teve a propriedade AVL estragada e trabalhar para recuperar a propriedade. Nesta tarefa de recuperação da estrutura AVL, podemos utilizar a propriedade de “associatividade” entre árvores de busca, como nas duas próximas propriedades.

Definição 1 Se T_1 e T_2 , são árvores binárias representaremos por $(T_1 \textcircled{A} T_2)$ a árvore binária com raiz A , tendo T_1 como sub-árvore esquerda de A e T_2 como sub-árvore direita.

Por analogia, denominaremos esta representação por “expressão aritmética da árvore”.

Propriedade 1.4 Sendo T_1 e T_2 árvores de busca binárias e A uma chave tal que $chave(e) < A < chave(d)$, $\forall (e, d) \in T_1 \times T_2$, segue que $(T_1 \textcircled{A} T_2)$ é árvore de busca binária.

Propriedade 1.5 Sendo T_1 , T_2 e T_3 árvores de busca binárias e chaves A e B tais que $chave(t_1) < A < chave(t_2) < B < chave(t_3)$, $\forall (t_1, t_2, t_3) \in T_1 \times T_2 \times T_3$, segue que

²Mais precisamente, “não piora”.

³Manter perfeitamente balanceada seria impossível, pois só poderíamos ter árvores com $2^{n+1} - 1 = \sum_{i=0}^n 2^i$ nós, o que significa que as inserções e remoções precisariam ser sempre de 2^n nós.

$(T_1 \textcircled{A} T_2) \textcircled{B} T_3$ e $T_1 \textcircled{A} (T_2 \textcircled{B} T_3)$ são árvores de busca binárias.

Na figura a seguir representamos estas duas árvores.

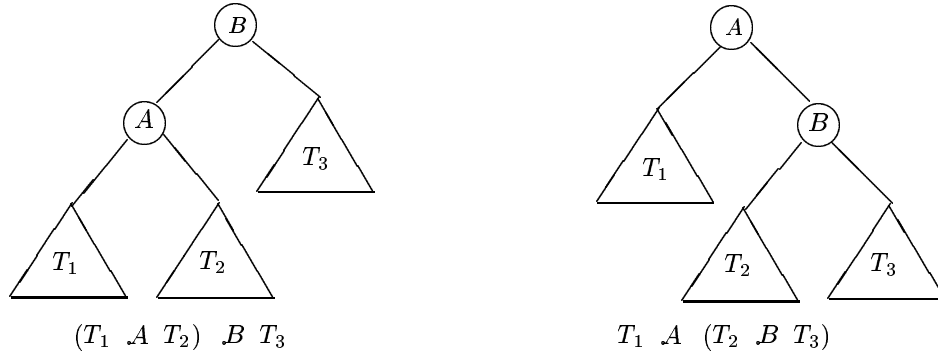


Figura 1.3: Representação das árvores AVL: rotação simples

Da representação acima podemos notar que a operação de mudança associativa pode produzir árvores de busca binárias com diferentes alturas, sendo que o número de parênteses na “expressão aritmética” da árvore define sua altura. Esta observação é essencial para operarmos eficientemente uma árvore de busca que deixou de ser AVL.

Existem dois tipos de mudanças associativas (na expressão da árvore) ou “rotações” (na representação gráfica) para recuperar a propriedade AVL:

1. Associação ou rotação simples: $(T_1 \textcircled{A} T_2) \textcircled{B} T_3$ é AVL, mas a inserção em T_1 destrói a propriedade.

Recuperação: $T_1 \rightarrow \bar{T}_1$

$$(\bar{T}_1 \textcircled{A} T_2) \textcircled{B} T_3 \rightarrow \bar{T}_1 \textcircled{A} (T_2 \textcircled{B} T_3)$$

Vide figura anterior.

2. Associação ou rotação dupla: $(T_1 \textcircled{A} T) \textcircled{B} T_4$ é AVL, mas a inserção em T destrói a propriedade.

Recuperação: Se tentar re-escrever a expressão da árvore com a representação nada conseguiremos, assim é necessário expandir a sub-árvore $T = (T_2 \textcircled{A} T_3)$. Agora é indiferente que a inserção ocorra em T_2 ou em T_3 , por isso re-escreveremos T_2, T_3 por \bar{T}_2, \bar{T}_3 , entendendo que apenas um deles de fato foi alterado.

$$(T_1 \textcircled{A} (\bar{T}_2 \textcircled{C} \bar{T}_3)) \textcircled{B} T_4 \rightarrow ((T_1 \textcircled{A} \bar{T}_2) \textcircled{C} \bar{T}_3) \textcircled{B} T_4 \rightarrow (T_1 \textcircled{A} \bar{T}_2) \textcircled{C} (\bar{T}_3 \textcircled{B} T_4)$$

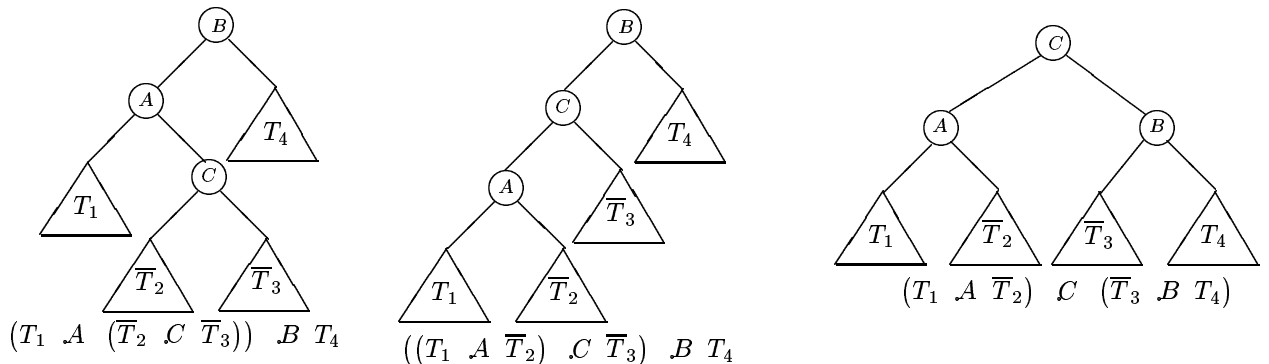


Figura 1.4: Representação das árvores AVL: dupla rotação